

東京理科大学 理工学部 学生員 森田 恵弘、西村 淳  
 同上 正員 福岡 正己、今村 芳徳  
 (株)熊谷組 正員 西 宏昌  
 横浜市役所 中野 裕也

## 1. はじめに

プレートアンカーを適用した擁壁の研究は、その施工例が少ないこともあり、あまり行なわれていないのが現状である。特に、裏込めに、粘性土を用いたものに關しては、数少ない。筆者らは、実際の擁壁の土圧と、壁面移動の関係について知ることは、今後の設計、施工に際し、重要なことであると考えている。本実験では、粘性土を裏込めに用いた多數アンカー式擁壁の、アンカー引張力を解除した時の擁壁の挙動を調べた。これらの実験結果とともにアンカー引張力の作用機構に關して、考察したので報告する。

## 2. 実験概要

実験を行った擁壁盛土を図-1に示す。擁壁の主要部材は、柱材、壁材、アンカーブルから構成されている。柱材は、 $20 \times 20 \text{ cm}$  の正方形断面の鉄筋コンクリート製。壁材は、中央の 5m が無筋コンクリートブロック、左右 5m が、シートタイプ、ネットタイプのファブリックを使用している。アンカーブルは、プレートアンカーを用いている。プレートは、 $40 \times 40 \text{ cm}$  の無筋コンクリート製。埋設長さは、5m である。アンカーブルと柱材の連結図を図-2 に示す。アンカーロッドに、ネジを切り、支柱の中を通じてナットで締めることにより連結させている。擁壁盛土材には、関東ロームを用いている。土質定数は、 $\gamma = 1.463 \text{ g/cm}^3$ ,  $C = 1.1 \sim 2.6 \text{ t/m}^2$ ,  $\phi = 15^\circ$  である。

実験方法は、支柱とアンカーを連結しているナットをゆるめることにより、アンカーに生じている引張力を解除し、その時の アンカー引張力、土圧の変化、天端及び地表の変位を計測した。計測項目を 図-3 に示す。アンカー引張力は、擁壁中央の支柱に設置された鉄筋計によって計測した。壁面土圧は、擁壁中央に埋め込まれている壁面土圧計により計測を行った。天端及び地表面の擁壁の変位は、インバールワイヤーとダイヤルゲージを用いて中央の 6 本の柱について計測した。まず、最上段、高さ 4m の位置に埋設されているすべてのアンカー引張力を解除する。擁壁の中央には、各種計測装置が設置されているので、中央から順番に、外側に向ってナットをゆるめた。各計測は、

1 時間ごとにを行い、アンカーの引張力を解除してから 24 時間後に、次の段のアンカー引張力を解除する。これも同様に、最下段 高さ 0m のアンカーまで、引張力を解除した。最終的には、この擁壁に、設置されているすべてのアンカーの引張力を解除することになる。

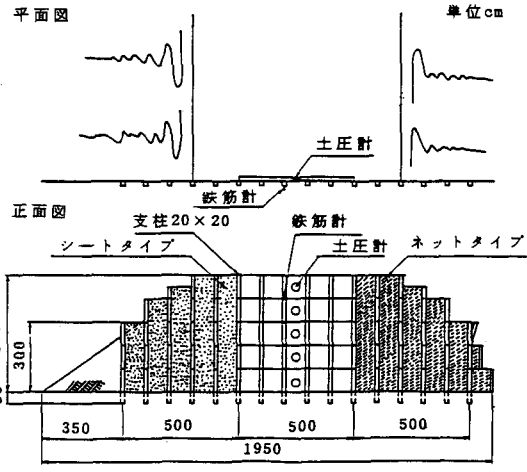


図-1 多数アンカー式コンクリートブロック擁壁

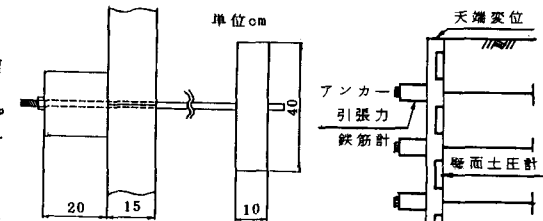


図-2 拥壁支柱、アンカー結合部

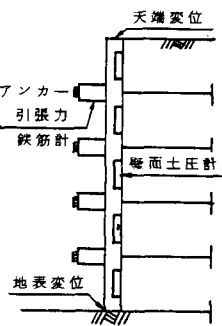


図-3 計測項目

### 3. 実験結果及び考察

擁壁は、アンカー引張力を解除することにより、擁壁盛土外側（主働土圧側）に変位を生じる。図-4は、横軸に、アンカー引張力を解除したアンカーNo.を縦軸に、擁壁に生じた回転角を示している。最大回転角は、0.00012 radであった。この値は、微少量であり、主動域にまだ至っていない。図-5は、擁壁壁面土圧と擁壁の回転角の関係を示した。白ぬきのマークは、個々の壁面土圧計の変化を表わし、黒丸は、擁壁の回転角の増加量を示している。壁面土圧と、回転角の増加量は、同様の変化を表わす傾向がある。壁面土圧が、増加する時は回転角の増加量も増し、土圧が、減少する時、それは、少なくなれる。又、アンカーNo.1の引張力を解除した時の回転角の増加量が、著しく大きい。このことは、擁壁の実験開始前の変形状態によるものと考えられる。すなはち、擁壁は、最初、中央がふくらんだ形になっていた。アンカーNo.1の引張力を解除することにより、その変形を元の形に近づけたと考えれば、この現象を理解することができる。土圧分布を、図-6に示す。白丸は実験開始前の土圧分布を示し、黒丸は、すべてのアンカー引張力を解除した後の土圧分布を示す。擁壁の上部では、アンカーの引張力を解除した後、壁面土圧は、増加し、下部の壁面土圧は、減少している。

図-7に、アンカー引張力の変化を示す。実験開始前のアンカー引張力は、台形分布になっている。アンカー引張力は、引張量に比例することを考えれば、擁壁の変位の大きい上方が大きくなると考えられる。又、土圧をアンカー引張力で受けもつと考えれば、土圧の大きい下方が大きくなると思われる。しかし、今回の計測では、そのどちらでもなく、台形の分布であることがわかった。又5段のアンカーのうち何本かのアンカー引張力を解除した時、残りのアンカーで、解除された力を受け持つと考えていたが、その傾向は、見らなかった。

以上をまとめると、アンカーの引張力は、土圧によって生じたとは考えにくい。その理由は、

1. 本擁壁におけるランキンの自立高さは、7mであり、その範囲内に入っている。2. アンカー引張力を解除した時の天端変位は、微少で、主動域に至っていない。3. アンカー引張力を解除する前後で、土圧は、大きく変化せず、通常の変化の範囲内である。4. アンカー引張力を解除しても、他のアンカーで力を受け持っていない。以上の4項目があげられる。つまり、アンカーの引張力は、土圧によるものではなく、盛土の沈下、及び施工中の擁壁の変位によって生じたものと思われる。

### 4. あとがき

今後、計測方法及び擁壁の形状に関して検討し研究を続けていく予定である。

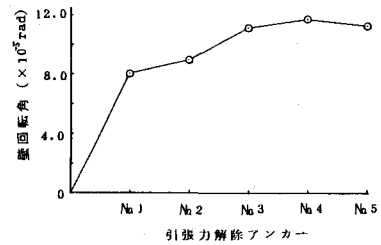


図-4 拥壁天端変位

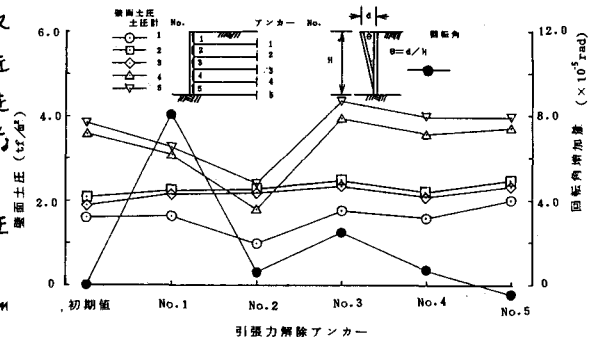


図-5 アンカー引張力解除時の壁面土圧・回転角増加量変化

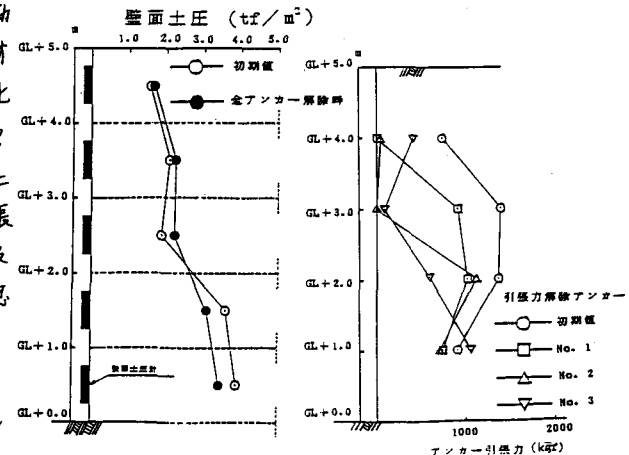


図-6 壁面土圧-アンカー

解除関係図

図-7 アンカー引張力